

8. Исследование влияния химической обработки на физико-химические свойства углеродных нанотрубок / Г. П. Богатырева, М. А. Маринич, Г. А. Базалий и др. // Фуллерены иnanoструктуры в конденсированных средах: Сб. науч. тр. Под ред. П.А. Витязя. – Минск: ГНУ «Институт тепломассообмена им. А.В. Лыкова» НАН Беларуси. – 2011. – С. 141–146.
9. Пат. на винахід № 98146, МПК C01B 31/06. Спосіб очистки ультрадисперсного вуглецевого матеріалу / Г. П. Богатирьова, М. А. Марініч, Г. А. Базалій та ін. Опубл. 25.04.2012; Бюл. № 8.
10. Методические рекомендации по изучению физико-химических свойств СТМ / Под ред. Г. П. Богатыревой. – К.: ИСМ им. В. Н. Бакуля НАН Украины, 1992. – 38 с.
11. ТИ 25000.00763. Изготовление нанопорошков многостенных углеродных нанотрубок (МУНТ) из продукта пиролиза / Г. П. Богатырева, М. А. Маринич, Г. А. Базалий. – К.: ИСМ им. В. Н. Бакуля НАН Украины, 2011. – 8 с.
12. ТУ У 24.1-05417377-231:2011. Нанопорошки многостенных углеродных нанотрубок марок МУНТ-А (MWCNT-A), МУНТ-В (MWCNT-B), МУНТ-С (MWCNT-C) / Г. П. Богатырева, М. А. Маринич, Г. А. Базалий. – К.: ИСМ им. В. Н. Бакуля НАН Украины, 2011. – 8 с.
13. Электропроводящие нанокомпозиты на основе полиэтилена / Д. С. Новак, Н. М. Березенко, Т. С. Шостак и др. // Породоразрушающий и металлообрабатывающий инструмент – техника и технология его изготовления и применения: Сб. науч. тр. – К.: ИСМ им. В.Н. Бакуля НАН Украины, 2011. – Вып. 14. – С. 394–398.
14. Особенности магниторезистивных свойств композитов из углеродных нанотрубок в интервале температур 4,2–252 К в магнитных полях до 140000 эрстед / И. В. Золочевский, А. В. Терехов, С. А. Глаголев и др. // Породоразрушающий и металлообрабатывающий инструмент – техника и технология его изготовления и применения: Сб. науч. тр. – К.: ИСМ им. В.Н. Бакуля НАН Украины, 2011. – Вып. 14. – С. 390–393.

Поступила 05.06.12.

УДК 621.921.343-492.2:541.128.13

**Г. П. Богатырёва<sup>1</sup>, А. Д. Шевченко<sup>2</sup>, доктора технических наук;**  
**В.Е. Диюк<sup>3</sup>; Г.Г. Цапюк<sup>3</sup>, канд. техн. наук; О.В. Лещенко<sup>1</sup>**

<sup>1</sup>ИСМ – Институт сверхтвёрдых материалов им. В.Н.Бакуля НАН Украины, г. Киев

<sup>2</sup>ИМФ – Институт металлофизики им. Г.В.Курдюмова НАН Украины, г. Киев

<sup>3</sup>КНУ – Киевский Национальный Университет им. Т.Шевченко, Украина

## **ВЛИЯНИЕ ОКИСЛИТЕЛЬНОЙ ОБРАБОТКИ НА ФИЗИКО-ХИМИЧЕСКИЕ СВОЙСТВА МНОГОСЛОЙНЫХ УГЛЕРОДНЫХ НАНОТРУБОК**

Приведены результаты исследования влияния окислительной обработки на физико-химические свойства многослойных углеродных нанотрубок (УНТ). Установлено, что в результате дополнительной химической обработки на поверхности УНТ формируются карбоксильные, ангидридные и лактонные группы, которые могут быть центрами дальнейшего модифицирования.

**Ключевые слова:** углеродные нанотрубки, окислительная обработка, поверхностные функциональные группы, физико-химические свойства.

Диапазон применения углеродных нанотрубок (УНТ) в современном производстве довольно широкий: структуризаторы различных композиционных материалов, носители для

адресной доставки действующих веществ (лекарств) в биологических объектах, адсорбенты, катализаторы, магниторезисторы и многое другое. Естественно, для каждого назначения требуется материал с определённым набором физико-химических и физико-механических характеристик. Известно, что свойства УНТ в значительной степени определяются также качеством их химической очистки в процессе извлечения УНТ из продукта синтеза [1, 2]. В этой связи актуальны исследования по определению влияния качества химической очистки на такие свойства УНТ, как термическая стойкость, состав и концентрация кислородсодержащих групп, а также магнитные свойства.

В этой работе представлены результаты исследований свойств многослойных углеродных нанотрубок (далее – УНТ), полученных методом CVD-синтеза из продукта пиролиза метана с применением Ni–Mg катализатора (производитель – фирма «Алит», Украина).

Исходные УНТ, полученные методом CVD-синтеза, были подвергнуты специальной химической обработке (очистке) для удаления примесей. Очищенные УНТ представляют собой пучки спутанных изогнутых нанотрубок (отдельных волокон) с вкраплениями остатков катализатора (~ 0.4 %) и аморфного

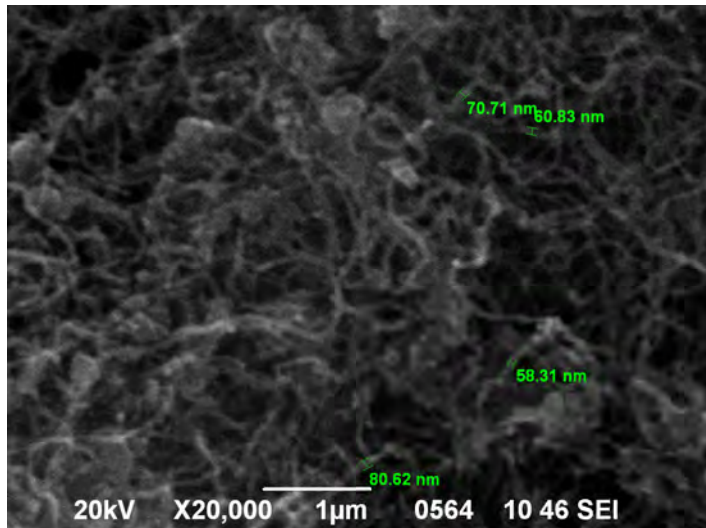


Рис. 1. Микрофотография УНТ, полученных CVD-методом

углерода (до 0.5 %) (рис. 1).\*

#### Методы исследования\*

Для определения зависимости изменения массы образца УНТ от времени и температуры нагрева применяли термогравиметрический анализ (ТГ) на воздухе и в среде инертного газа (Ar).

Термогравиметрический анализ на воздухе выполняли в дериватографе в температурном интервале 25–950°C со скоростью нагревания 10°C/мин. Начальная масса навески УНТ – 100 мг.

Для определения концентрации поверхностных функциональных групп С<sub>ФГ</sub> и температурных интервалов их разложения (термической устойчивости) применяли метод термопрограммированной десорбции (ТПД). Этот метод заключается в проведении ТГ в среде Ar с параллельным ИК-спектрометрическим анализом газообразных продуктов десорбции. Так были исследованы термодесорбционные процессы, происходящие в поверхностном слое нанотрубок. Образцы УНТ нагревали от 20 до 900°C со скоростью нагревания 10°C/мин. Скорость течения потока газа (Ar) – 50 см<sup>3</sup>/мин. Точность определения концентраций CO и CO<sub>2</sub> – 6–2 10<sup>-6</sup> моль/л.

Концентрацию кислородсодержащих функциональных групп на поверхности УНТ определяли методом Бёма. Этим методом, в отличие от метода ТПД, можно определить доступные в растворе поверхностные группы.

Навески УНТ ( $m = 0.5$  г, точность измерения – 0.0001 г) заливали растворами 0.05 M NaOH, 0.05 M NaHCO<sub>3</sub> или 0.05 M Na<sub>2</sub>CO<sub>3</sub> (10 см<sup>3</sup>). Смесь взбалтывали в течение 24 ч., затем отбирали аликвоту раствора и определяли концентрацию основания потенциометрическим титрованием. Концентрацию функциональных групп (C) определяли по формуле

\* Все исследования выполняли на воздушно сухих образцах УНТ.

$$C = \frac{V_{\text{осн.}} (V_{\text{HCl}}^0 - V_{\text{HCl}}) C_{\text{HCl}}}{1000 m V_A},$$

где  $V_{\text{осн.}}$  – объем раствора основания, которым заливали навеску УНТ, см<sup>3</sup>;  $V_{\text{HCl}}$ ,  $V_{\text{HCl}}^0$  – объем кислоты, для титрования аликовт исследуемого раствора и раствора сравнения, соответственно, см<sup>3</sup>;  $C_{\text{HCl}}$  – концентрация HCl (0.1 М);  $m$  – масса навески УНТ, г;  $V_A$  – объем аликовты исследуемого раствора основания ( $V_A = 2$  мл). Погрешность определения С – 2%.

Магнитные характеристики УНТ исследовали методом магнитометрии на вибрационном магнитометре Vibrating Magnetometer 7404 VSM (фирма “Lake Shore Cryotronics, Inc.”, США) в магнитных полях с напряженностью до 13000 эрстед. Чувствительность магнитометра составляет  $\approx 10^{-7}$  еме, что позволяет измерять магнитный момент образцов массой в единицы милли-граммов. Массу исследуемых образцов измеряли электронными микровесами AB135-S/FACT с автокомпенсацией (фирма «Mettler Toledo», Швейцария). Чувствительность весов составляет  $-10^{-5}$  г [3].

Дериватографические исследования образцов нанотрубок: исходных (УНТ1) и после дополнительной специальной химической очистки (УНТ2) проводили на дериватографе QU1500 в интервале температур 20 - 1000°C в воздушной среде. Масса образца – 100 мг. Элементный состав указанных образцов УНТ и их основные характеристики качества приведены в табл. 1.

Таблица 1. Основные характеристики качества УНТ1 и УНТ2

№ п/п	Показатель	УНТ1	УНТ2
1	Массовая доля примесей в виде несгораемого остатка (зольность), %	1,60	0,40
2	Удельная магнитная восприимчивость, $\chi$ , $10^{-8}$ м <sup>3</sup> /кг	101,3	3,6
3	Содержание растворимых примесей, %	10,4	0,2
4	Содержание аморфного углерода, %	7,2	0,5
5	Удельная площадь поверхности, S <sub>БЭТ</sub> , м <sup>2</sup> /г	113,6	138,4
6	Объём микропор (удельный), мл/г	0,037	0,046
7	Энергия адсорбции, кДж/моль	15,76	9,59
8	Средний диаметр агломератов, мкм	37,0	39,0
9	Элементный состав, % : C O Ni Cr	95,38 2,88 1,49 0,25	95,77 3,81 0,17 0,24

### Результаты исследований

Дериватограммы образцов УНТ показаны на рис. 2.

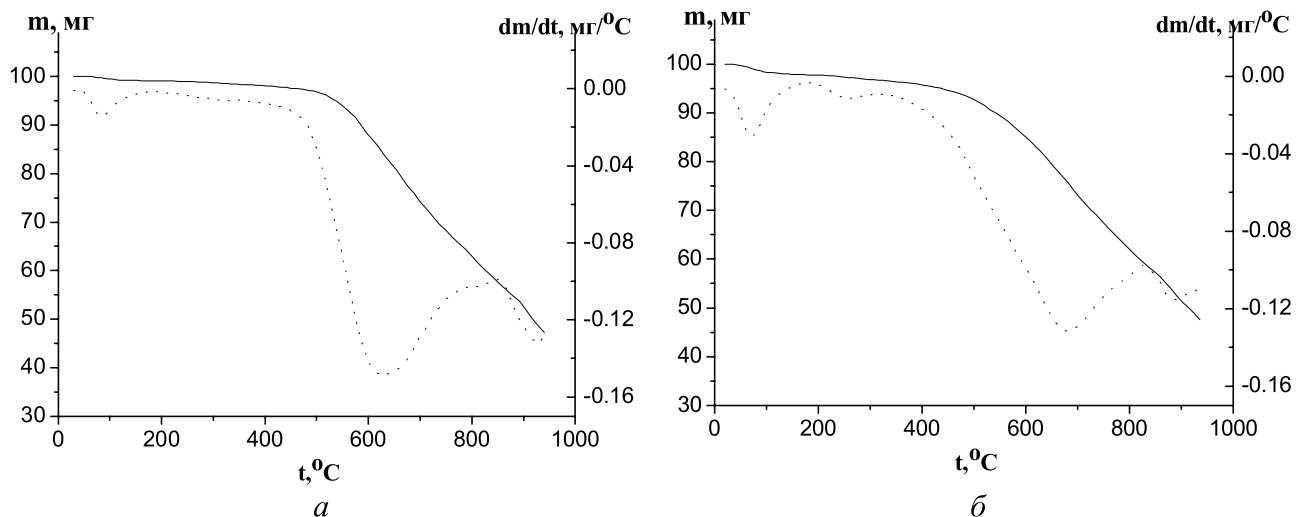


Рис. 2. Дериватограммы образцов: УНТ1 (а) и УНТ2 (б). Сплошные линии – температурные зависимости потери массы, пунктирные линии – дифференциальные кривые.

Из данных рис. 2 следует, что общая потеря массы ( $\Delta m$ ) УНТ1 и УНТ2 при нагревании образцов на воздухе до 900°C составляет 52.8 и 51.1 %, соответственно.

Дифференциальная кривая имеет несколько экстремумов, отвечающих различным процессам [4, 5]. Первый минимум при температуре  $\approx 100^{\circ}\text{C}$  соответствует десорбции физсорбированной воды с поверхности нанотрубок. Этот эффект незначителен и составляет  $\approx 1\%$  для УНТ1 и  $\approx 2\%$  для УНТ2. Для УНТ2, в отличие от УНТ1, при температуре 265°C наблюдается небольшой (1.2 %) эффект потери массы, связанный с разложением поверхностных групп, образующихся, по-видимому, в результате кислотной обработки. Температура разложения этих групп позволяет отнести их к карбоксильным группам. Процесс окисления нанотрубок активно начинается при температурах выше 400°C. Температура начала окисления ( $T_{\text{н.о.}}$ ) УНТ2 на 60 - 70°C ниже, чем  $T_{\text{н.о.}}$  УНТ1, однако максимальная скорость окисления УНТ2 наблюдается при  $\approx 680^{\circ}\text{C}$ , что на 45°C выше, чем  $T_{\text{н.о.}}$  УНТ1. Эти особенности, по-видимому, связаны с разложением поверхностных кислородсодержащих групп (ангидридных, лактонных, фенольных и др.), сформированных на поверхности УНТ2 в результате кислотной обработки. Эти поверхностные группы разлагаются в температурном интервале 400 - 900°C параллельно с окислением основной структуры УНТ. Потеря массы, отвечающая данным процессам, составляет  $\approx 38\%$  (УНТ1) и  $\approx 40\%$  (УНТ2).

Еще один эффект потери массы наблюдается в интервале температур 830 - 940°C, причем для УНТ1 и УНТ2 температура отличается несущественно.

Эти два эффекта, наблюдаемых при высоких температурах, вероятно, связаны с наличием двух форм углерода, формирующихся на стадии синтеза УНТ. Как видно из полученных данных, эти формы почти не изменяются в результате кислотной обработки. Несущественное различие значений  $\Delta m$  и схожесть зависимостей  $dm/dt$  свидетельствуют о достаточной воспроизводимости свойств получаемого материала на стадии синтеза.

Температурные зависимости изменения массы УНТ1 и УНТ2 в интегральной и дифференциальной формах, а также температурные зависимости выделения CO и CO<sub>2</sub> (основных продуктов десорбции) показаны на рис. 3.

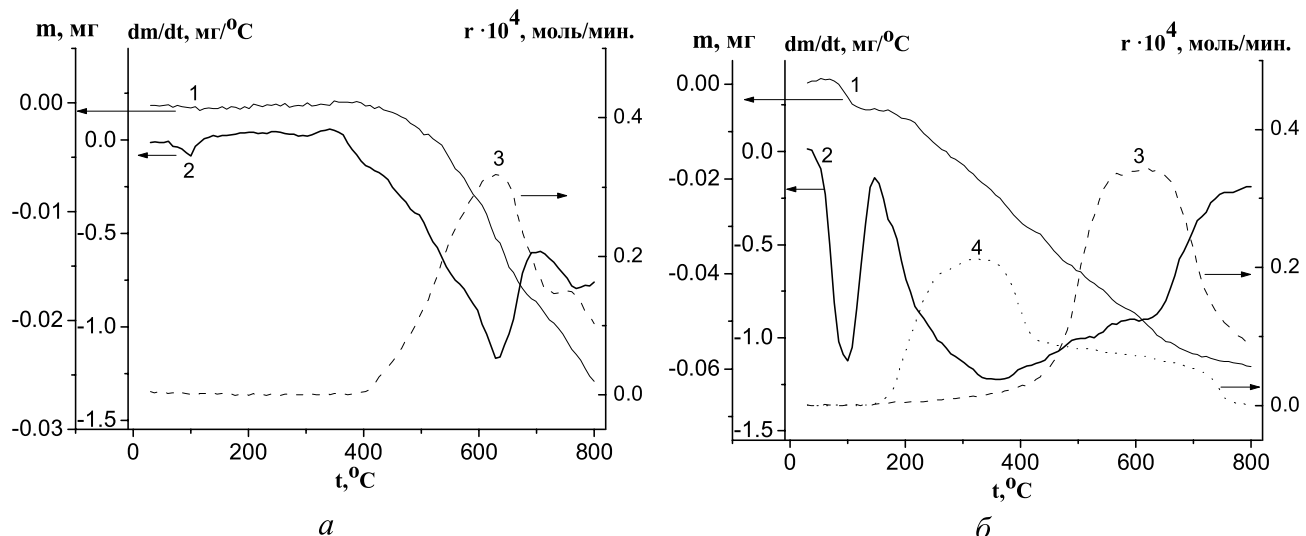


Рис. 3. Температурная зависимость: изменения массы УНТ1 (а) и УНТ2 (б) в интегральной (1) и дифференциальной (2) форме; скорости выделения CO (3) и  $\text{CO}_2$  (4).

Соответствующие показатели термодесорбционных свойств УНТ1 и УНТ2 приведены в табл. 2.

Таблица 2. Термодесорбционные свойства УНТ1 и УНТ2

Образец	$\Delta m$ , %	$m$ ( $\text{H}_2\text{O}$ ), %	$C$ (CO), ммоль/г	$C(\text{CO}_2)$ , ммоль/г	$C_{\text{ФГ}}$ , ммоль/г		
					Карбоксильные	Ангидридные, лактонные	Фенольные
УНТ1	2,56	0,05	0,69	~0	~ 0	~ 0	0,69
УНТ2	5,95	0,52	0,85	0,64	0,41	0,23	0,82

Как следует из полученных зависимостей изменения массы и дифференциальных кривых, нанотрубки УНТ1 не содержат поверхностных групп с температурой разложения до 400°C, что связано с температурным режимом получения нанотрубок. Так, этот образец не содержит поверхностных  $\text{CO}_2$ -центров (карбоксильных, ангидридных и лактонных групп) и содержит лишь незначительное количество CO-центров. Исходя из температуры разложения, CO-центрами на поверхности УНТ1 являются фенольные группы. Между дифференциальной зависимостью изменения массы и кривой выделения CO наблюдается удовлетворительное качественное (совпадают экстремумы) и количественное (изменение массы  $\Delta m$  согласуется с  $C(\text{CO})$ ) соответствие. Таким образом, нагревание УНТ1 в инертной атмосфере приводит к тому, что разлагаются фенольные группы, присутствующие в незначительном количестве ( $6.9 \cdot 10^{-4}$  моль/г).

Нанотрубки, прошедшие кислотную окислительную обработку, (УНТ2) содержат большее, чем исходный образец, количество поверхностных групп. Об этом свидетельствуют больший (более чем в 2 раза) эффект потери массы ( $\Delta m$ ), а также большее количество газообразных продуктов десорбции ( $C(\text{CO})$  и  $C(\text{CO}_2)$ ). Кислотная окислительная обработка приводит к формированию различных поверхностных групп, о чем свидетельствует широкий (150 - 800°C) минимум на дифференциальной кривой. В результате обработки на поверхности УНТ2 образуется до  $4.1 \cdot 10^{-4}$  моль/г карбоксильных групп, на что указывает широкий максимум выделения  $\text{CO}_2$  в температурном интервале 180 - 430°C. Выделение  $\text{CO}_2$  и CO при температурах выше 400°C свидетельствует об образовании  $1.5 - 2.5 \cdot 10^{-4}$  моль/г

ангидридных, лактонных и фенольных групп (см. табл. 2). Максимумы выделения CO и CO<sub>2</sub> для УНТ2 коррелируют с дифференциальной зависимостью потери массы.

Результаты исследований УНТ методом титрования по Бёму приведены в табл. 3.

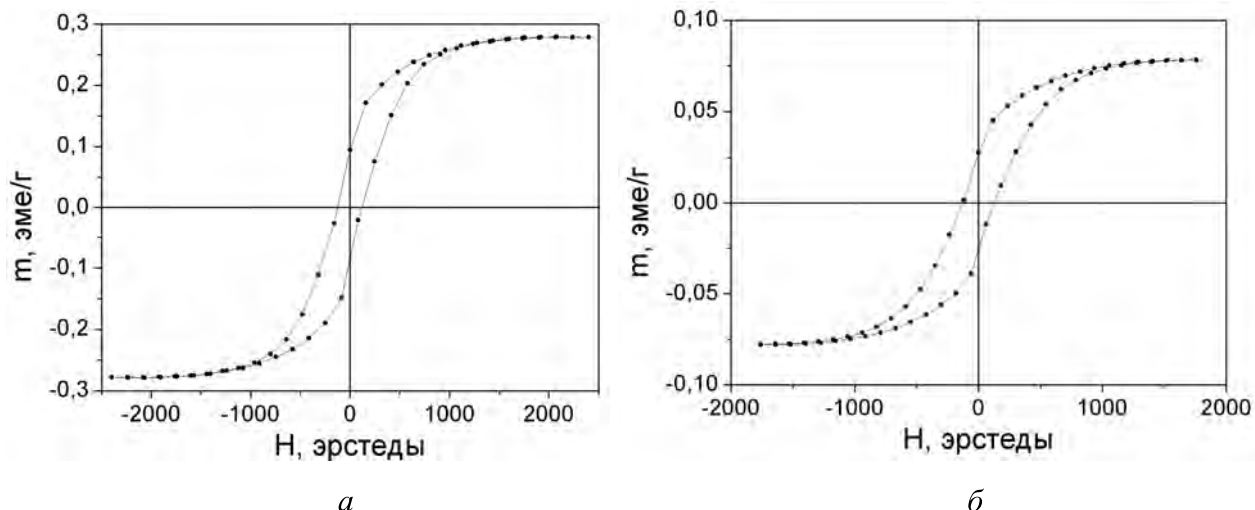
**Таблица 3. Концентрация функциональных групп в поверхностном слое УНТ, определенная методом Бёма**

Образец	С <sub>ФГ</sub> , ммоль/г		
	карбоксильные	ангидридные, лактонные	фенольные
УНТ1	~ 0	~ 0	0,65
УНТ2	0,39	0,20	0,79

Эти данные хорошо согласуются с данными, полученными методом ТПД. Таким образом, практически все поверхностные группы нанотрубок доступны в растворе и могут быть центрами дальнейшего модификации.

Результаты магнитных исследований показали, что углеродные нанотрубки являются магнитотвёрдыми ферромагнетиками. Коэрцитивная сила  $H_C = 121,73$  эрстед для образца УНТ1 и  $H_C = 127,66$  эрстед для образца УНТ2. Магнитный момент насыщения ( $m_s$ ) образца УНТ1 составляет 0,279 эмэ/г, а образца УНТ2 – 0,078 эмэ/г и зависит от содержания Ni в УНТ, т. е.  $m_s$  можно изменить путем специальной химической обработки.  $H_s$  – напряжённость магнитного поля, при которой наблюдается насыщение магнитного момента  $m_s$ , соответственно равна:  $H_s = 2080$  эрстед (УНТ1) и  $H_s = 1760$  эрстед (УНТ2).

Значения удельного магнитного момента для УНТ1 и УНТ2 в зависимости от напряжённости магнитного поля (петли гистерезиса) показаны на рис.4.



*Рис. 4. Зависимость удельного магнитного момента (петля гистерезиса) от напряжённости магнитного поля: а – УНТ1; б – УНТ2*

Таким образом, результаты исследования показали, что УНТ можно использовать в наноэлектронике для изготовления сенсоров магнитного поля, а также в медицине – в качестве платформ для доставки лекарственных средств, в магниторезонансной томографии и при локальной магнитоуправляемой гипертермии.

## Выводы

1. Результаты дериватографических исследований показали, что углеродные нанотрубки (УНТ) устойчивы к окислению на воздухе до 400°C. УНТ – как первого (УНТ1), так и второго вида (УНТ2) – состоят из двух форм углерода ( $C_1$  и  $C_2$ ), формирующихся на стадии синтеза. Эти формы окисляются в температурном интервале 400–830 °C и 830–940 °C, соответственно. Содержание  $C_1$  составляет 40%,  $C_2$  – 60% и не зависит от окислительной (кислотной) обработки нанотрубок.

2. Методом ТПД и методом Бёма показано, что поверхность УНТ содержит фенольные группы (УНТ1). А в результате дополнительной химической обработки на поверхности УНТ (УНТ2) формируются также и карбоксильные, ангидридные и лактонные группы, которые могут быть центрами дальнейшего модифицирования.

3. Углеродные нанотрубки являются магнитотвердыми ферромагнетиками, магнитный момент насыщения которых может регулироваться специальной химической обработкой.

*Наведено результати дослідження впливу окислюальної обробки на фізико-хімічні властивості вуглецевих нанотрубок (ВНТ). Встановлено, що в результаті додаткової хімічної обробки на поверхні ВНТ формуються карбоксильні, ангідридні та лактонні групи, які можуть бути центрами подальшого модифікування.*

**Ключові слова:** вуглецеві нанотрубки, окислюальна обробка, поверхневі функціональні групи, фізико-хімічні властивості.

*The results of studies of effect of oxidation treatment on physical-chemical properties of multilayer carbon nanotubes (CNT) are presented. It is ascertained that as a result of chemical extra treatment the carboxyl, anhydride and lacton groups are generated on the CNT surface. These groups can be centers for follow-up modification.*

**Key words:** carbon nanotubes, oxidation treatment, surface functional groups, physical-chemical properties.

## Литература

1. Ткачев А. Г. Производство и использование углеродногоnanoструктурного материала «Таунит». / Международный научный журнал «Альтернативная энергетика и экология». – 2007. – № 9 (63). – С. 60–64.
2. Исследование влияния химической обработки на физико-химические свойства углеродных нанотрубок / Г. П. Богатырёва, М. А. Маринич, Г. А. Базалий и др. // Сб.науч.тр. «Фуллерены и nanoструктуры в конденсированных средах». Под ред. П. А. Витязя – Минск: ГНУ «Институт тепло- и массо-обмена им.А. В. Лыкова» НАН Беларуси. – 2011. – С. 141–146.
3. Магнитные характеристики и противоопухолевая активность нанокомплекса, состоящего из детонационного наноалмаза и доксорубицина. / В. Э. Орел, А. Д. Шевченко, Г. П. Богатырёва // Сверхтвёрдые материалы. – 2012. – №3. – С. 42–51.
4. Удовицкий В. П. Методы оценки чистоты и характеризации свойств углеродных нанотрубок. / ФІП ФІП РСЕ. –2009. – 7. – № 4. – С. 351–373.
5. Глебова М. В., Нечитайлов А. А. Функционализация поверхности многослойных углеродных нанотрубок. / Письма в ЖТЭ. – 2010. – 36. – Вып. 19. – С. 8–15.

Поступила 19.06.12